

III-114 砂質土の振動土圧の算定

名古屋大学大学院
名古屋大学工学部

学生員 ○河邑 真
正員 市原 松平

1. まえがき

砂質土の地震時土圧に関する研究は、塑性論にもとづく地震時主働土圧、地震時受働土圧についてと、弾性論にもとづく振動土圧の両面について進められてきている。両者の相違は壁体の変位により裏込め土が塑性平衡状態 (plastic equilibrium state) にあるかどうかによる考え方である。筆者らは、塑性平衡状態における壁面土圧、すなわち地震時主働土圧の算定のために土圧の再配分について研究してきたが、この再配分とは裏込め土中に弾性状態と塑性状態が混在した状態を説明する方法と考えられる。そこで、筆者らは塑性状態にあり土圧に加えべき振動土圧について計算値と実測値を用いて考察する。

解析方法は、裏込め土を弾性体と仮定し剛性率 G が一定の場合と砂層の深さ方向に変化する場合について、ウッドの方法を用いた。また、計測値は乾燥した密な状態の豊浦砂を用い大型振動砂槽による振動実験の結果を用いた。砂槽の長さ L と裏込め土の高さ H の比 $L/H = 3.64$ である。

2. 解析方法

2-1. $G = \text{const.}$ の場合

正弦波外力をうける裏込め土の水平方向の運動方程式は次式で与えられる。座標ならびに境界条件は図-1に示すとおりである。

$$L u(x, y, t) = g \ddot{u}(x, y, t) + c \dot{u}(x, y, t) + p \ddot{u} b e^{i\omega t} \quad (1)$$

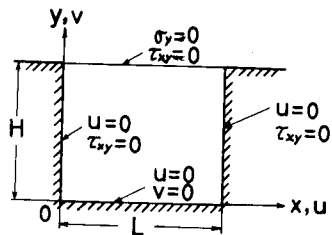


Fig.1

u ; 水平方向の変位, ω ; 角振動数, c ; 減衰定数, L ; 演算子

ここで、 $u(x, y, t) = \sum_{n=1}^{\infty} \Omega_{n,m}(t) \phi_{n,m}(x, y)$ とおくと、式(1)の解は、

$$u(x, y, t) = - \frac{\ddot{u}_b}{g} \sum_{m=1}^{\infty} \frac{P_{n,m} \phi_{n,m}(x, y) e^{i\omega t}}{\left\{ \left(1 - \frac{\omega^2}{\omega_{n,m}^2} \right) + 2i\zeta_{n,m} \frac{\omega}{\omega_{n,m}} \right\}} \quad (2)$$

ここで、

$$P_{n,m} = - \frac{g}{\omega_{n,m}^2} \frac{\int_T u_{n,m} dT}{\int_T \phi_{n,m} \phi_{n,m} dT} \quad (3)$$

式(2)の変位関数と構成則を用いて振動土圧を求めた。実測振動土圧と振動砂槽の加速度との位相差は極めて小さいので計算では $C = 0$ とした。

2-2. $G = f(x)$ の場合

剛性率 G が深さ方向に変化し鉛直方向の変位は無視しうるとすると運動方程式は次式で導かれる。

$$\frac{\partial^2 u}{\partial t^2} = -G \frac{\partial^2 u}{\partial x^2} + \frac{\partial}{\partial y} \left(G \frac{\partial u}{\partial y} \right) - p a \omega^2 \sin \omega t \quad (4)$$

上式を数値積分し振動土圧を求める。

計算は $G = 1.92 (1 - x/H) \times 10^5 \text{ N/cm}^2$ として行なった。

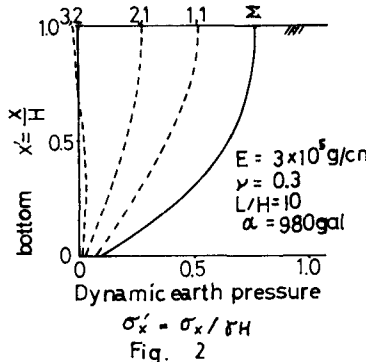
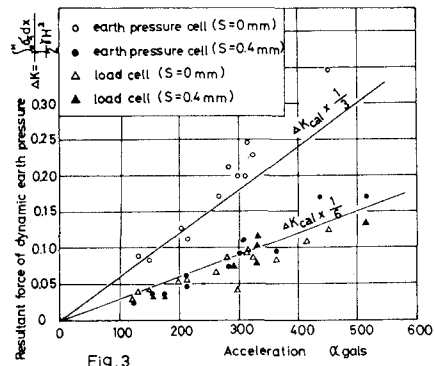


Table 1

Mode	$\Omega = \frac{\omega_m}{\omega_n}$
1,1	1.057
1,2	1.864
1,3	3.028
2,1	1.429
2,2	1.837
2,3	3.233
3,1	1.805
3,2	3.570
3,3	4.874



3. 結果と考察

図-2はモーダルアナリシスにより、寸法比 $L/H=10$, $E=3 \times 10^5 g/cm^2$, $\gamma=0.3$ で計算した振動土圧分布の一例である。表-1は上記の計算における振動数方程式の解を各モードについて示したものである。

図-3は乾燥した密な状態の豊浦砂による振動土圧実験において荷重計と土圧計を用いて計測した振動土圧合力と加速度との関係を示したものである。振動土圧の計測値は、振動砂槽の可動壁が固定してある場合と、平均壁変位量 S が 0.4 mm に達した場合の 2つの壁変位条件について示している。この図より、土圧計の計測による振動土圧合力は壁変位後約 50% 減少するに対し、荷重計の計測による振動土圧合力は壁変位による影響が少ないことがわかる。この理由は裏込め砂の充填時にバイブレーターで締め固めを行なうため、土圧計の受圧面の押し込みが生じていると考えられる。図-3に示した計算線はモーダルアナリシスによる計算値 ΔK_{cal} に比例定数を乗じた値である。この比例定数は $1/3$ と $1/6$ について示している。この図より、一様剛性率を仮定し実寸法比を用いて計算した値は実測値より極めて小さくなる。

ここで、筆者らはこの差異の原因として(1)寸法比、(2)剛性率 G の深さ方向への変化、という 2 点を考えた。

図-4は加速度 500 gal における振動土圧合力と寸法比 L/H の関係を示したものである。計算による振動土圧合力は寸法比の影響をうけるので、隔壁を設けず幅比を変えて実験を行ない荷重計で計測した値と計算値の比較を示したものである。この図から、実測の振動土圧合力は計算値と寸法比の影響を受けないことわかる。

図-5は土圧計を用いて計測した振動土圧分布と計算値の比較を示したものである。計算は、条件(1) 寸法比 $L/H=0.5$ 、剛性率 $G=1.92 \times 10^5 g/cm^2$ 、条件(2) $L/H=3.64$ 、 $G=1.92(1-X/H) \times 10^5 g/cm^2$ として行なったものである。この図から、寸法比を $1/2$ にして場合と剛性率 G の深さ方向への変化を仮定した方が実測値より近い分布を与えることがわかる。条件(2)については計算値の $1/3$ の値を示している。

参考文献

- 1) 満田守雄；土圧計を用いた乾燥砂の静的・および動的土圧実験、名古屋大学工学部土木工学科卒論 昭.52.
- 2) 上部達夫；裏込め土中に隔壁を設けた静的・および動的土圧実験、名古屋大学工学部土木工学科卒論 昭.46.

